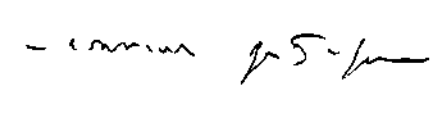
emnil: elsone ige.
mab@ige.uniamp.br.





# INSTITUTO DE GEOCIÊNCIAS PÓS-GRADUAÇÃO EM GEOCIÊNCIAS - ÁREA DE METALOGÊNESE

### Processos Metalogenéticos (GA-215)

### Avaliação - 2003

### Tópico: Fluidos e Depósitos Minerais

Pesquisar os temas abaixo e resumir as principais informações utilizando no máximo 03 páginas (incluindo figuras).

Tema 1. Regimes de fluidos associados a mineralizações de ouro e metais associados em:

- 1. Depósitos do tipo Black Shale, com ênfase em Morro do Ouro Marcelo.
- 2. Intrusivas félsicas, com ênfase em na Província do Tapajós Antonio João.
- 3. Terrenos granito-greenstone, com ênfase no Quadrilátero Ferrífero Eduardo.
- 4. Depósitos do tipo óxido de Ferro-Cu-Au-ETR, com ênfase na Província de Carajás e Olympic Dam (Austrália) Clayton.

Tema 2. Papel de fluidos meteóricos na formação de depósitos hidrotermais - Conrado.

### Tópico: Estruturas e Mineralizações

Pesquisar os seguintes tópicos e apresentar em no máximo duas páginas, incluindo figuras e referências.

- Depósitos de Cu-Au porfirítico p/ Antônio
- 2. Depósitos auríferos mesotermais (orogenéticos) hospedados em BIF p/ Eduardo
- 3. Depósitos auríferos disseminados em rochas sedimentares (tipo Carlin) p/ Marcelo
- 4. Depósitos de Cu-Au tipo Carajás p/ Cleyton
- 5. Depósitos de Au epitermal, cordilherano p/ Conrado

Para o depósito designado, o aluno deve compilar, com base em consulta bibliográfica, as seguintes características:

- estilos de controle estrutural nas escalas regional e do depósito.
- estilos e geometria da alteração hidrotermal & relação com as estruturas (se houver).
- condições P-T de formação da mineralização explicando como foram obtidas.
- processos responsáveis pela precipitação do conteúdo metalífero.

### Tópico: Processos magmáticos e depósitos minerais

Apresentar os exercícios feitos em aula sobre cristalização fracionada e fusão parcial, com discussões e interpretações. Apresentar graficos e discussões em no maximo 3 paginas.

### Tópico: Mineralizações e associações vulcano-sedimentares

Pesquisar quais são os motivos para que as jazidas de Cu-Zn do tipo VMS não apresentem Pb na sua paragênese.

### Tópico: Paragêneses minerais e modelos de depósitos minerais

Estimar os intervalos e as variações de fugacidade de O<sub>2</sub> e de S<sub>2</sub> durante a evolução de uma jazida com base na presença/ausência de óxidos e sulfetos de ferro. Indicar graficamente em que sentido esses parâmetros variaram durante a evolução da jazida.

O caso a ser analisado é a jazida de cobre e ouro do Salobo 3A de Carajás:

Minérios principais – 1) magnetita-bornita-calcopirita

2)magnetita-bornita-calcosita

Minérios localizados - 1) magnetita martitizada-bornita-calcosita

2) calcopirita-pirita-pirrotita

Assumir intervalo de temperatura 550-250°C (da fácies anfibolito alto a xisto verde baixo).

Escrever a resposta de forma resumida ocupando no máximo uma página.



### INSTITUTO DE GEOCIÊNCIAS PÓS-GRADUAÇÃO EM GEOCIÊNCIAS - ÁREA METALOGÊNESE

### GA215 - PROCESSOS METALOGENÉTICOS

### **EMENTA**

Esta disciplina tem como objetivos apresentar os principais processos geológicos que conduzem à formação de depósitos minerais no interior da crosta terrestre, assim como abordar uma série de técnicas utilizadas para a definição destes processos e sua quantificação, com implicações na elaboração de modelos genéticos.

T: 04

E: 03

L:00

S: 00

1: 02

C: 09

P:03

Período do Curso: 07/04 a 16/04/2003

### **PROGRAMA**

### Introdução

Prof. Responsável: Bernardino R. de Figueiredo

07/04 (9:00 - 12:00)

1. Objetivos da disciplina e critérios de avaliação.

- 2. Condições de formação de depósitos minerais: conceituação básica e avaliação dos parâmetros P, T, fS<sub>2</sub>, fO<sub>2</sub>, pH e tempo na formação de depósitos minerais.
- 3. Conceito de modelos de depósitos minerais. Modelos descritivo, genético e exploratório de depósitos minerais.

### Fluidos e Depósitos Minerais

Prof. Responsável: Roberto P. Xavier

07/04 (14:00 - 17:00) - 08/04 (9:00-12:00; 14:00-17:00)

- Fluidos hidrotermais na crosta terrestre.
  - 1.1. Natureza, composição química e migração de fluidos hidrotermais.
  - 1.2. A solubilidade de minerais em fluidos hidrotermais.
  - 1.3. Mecanismos de transporte e precipitação de metais por fluidos hidrotermais.
  - 1.4. Estilos de alteração hidrotermal.
- 2. Métodos de caracterização da origem e evolução de fluidos hidrotermais na crosta terrestre.
  - 2.1. Isótopos estáveis em minerais e fluidos (D/H, <sup>18</sup>O/<sup>16</sup>O, <sup>13</sup>C/<sup>12</sup>C, e <sup>34</sup>S/<sup>32</sup>S).

<u>http://www.soes.soton.ac.uk/staff/pmrp/GY309/Module1/m1.html</u> - Curso de Isotope Geochemistry ministrado pelo Prof. Martin Palmer na Universidade de Soton (UK). Isótopos radiogênicos principalmente.

<u>http://www.geo.cornell.edu/geology/classes/geo455/Chapters.HTML</u> — Curso de Geoquímica on-line de William M. White de Cornell University

- 2.2. Inclusões fluidas: microtermometria e micro-espectroscopia Raman.
- 3. Fluidos e modelos genéticos de mineralizações hidrotermais.
  - 3.1. Mineralizações auríferas do tipo *lode* ou orogenético em terrenos vulcano-sedimentares Précambrianos.
  - 3.2. Sistemas meteórico hidrotermais: depósitos auríferos epitermais e disseminados em rochas sedimentares (tipo Carlin).
  - 3.3. Sistemas magmático-hidrotermais: depósitos associados a intrusivas félsicas.
  - 3.4.Sistemas hidrotermais oceânicos: depósitos do tipo vulcanogênico-exalativo (VMS) e sedimentarexalativo (SEDEX).

### Estruturas e Mineralizações

Prof. Responsável: Carlos Roberto Souza Filho

09/04 (9:00-12:00; 14:00-17:00) - 10/04 (9:00-12:00)

- 1. Conceitos básicos de tectônica de placas, regimes tectônicos, metodologias de análise estrutural, stress, comportamento das rochas sob stress.
- 2. Análise da deformação coaxial e não coaxial, deformação tridimensional, representação gráfica, marcadores e técnicas analíticas rápidas.
- 3. Tipologia estrutural, estruturas primárias, juntas e fraturas, falhas, dobras, lineações, foliações, estricção e boudinagem, zonas de cisalhamento e estruturas associadas, rochas miloníticas.
- 4. Análise cinemática, indicadores cinemáticos e significado tectônico.
- 5. Fluidos e mineralizações, armadilhas estruturais, segmentos transtensivos e transpressivos, mineralizações em fraturas de tensão e de cisalhamento, mineralizações associadas a dobras e à zonas de cisalhamento, metamorfismo, fluidos e reologia das mineralizações e elipsóides de deformação.

### Processos Magmáticos e Depósitos Minerais

Prof. Responsável: Elson Paiva Oliveira

10/04 (14:00 - 17:00) - 11/04 (9:00-12:00; 14:00-17:00)

- 1. Processos que modificam a composição das rochas magmáticas:
  - 1.1. Cristalização fracionada (sistemas fechado e aberto).
  - 1.2. Contaminação crustal.
  - 1.3. Fusão parcial
  - 1.4. Mistura de magmas.
- 2. A importância da fonte na geração de magmas.
- 3. Isótopos radiogênicos (Sr-Nd) no entendimento de processos magmáticos.
- 4. Aplicações a estudos metalogenéticos

### Mineralizações e Associações Vulcano - Sedimentares

Prof. Responsável: Alfonso Schrank

14/04 (9:00-12:00; 14:00-17:00)— 15/04 (9:00 - 12:00)

- 1. Propriedades dos magmas e seu comportamento físico próximo à superfície.
  - 1.1. Revisão das classificações de rochas vulcânicas, piroclásticas e vulcanoclásticas.
  - 1.2. Relação entre propriedades químicas e físicas e o reflexo nos mecanismos de erupção.
  - 1.3. Depósitos vulcanogênicos associados ao vulcanismo submarino, rifts continentais, retro-arcos, arcos insulares e arcos continentais.
- 2. Ambientes vulcanogênicos e relação com processos sedimentares.
  - 2.1. Paleo-geografia de áreas vulcânicas e os principais processos de erosão e sedimentação associados.
  - 2.2. Significado dos turbiditos, formações ferríferas bandadas, conglomerados e arcósios e rochas carbonáticas associados à sequências vulcânicas.
  - 2.3. Greenstone belts e ofiolitos: comparação e significado.
- 3. Tipos e mecanismos de formação de jazidas em áreas vulcanogênicas.
  - 3.1. Colocação de magmas e sua influência nos padrões de circulação de fluidos hidrotermais.
  - 3.2. Arquitetura tectônica em áreas vulcanogênicas e fontes hidrotermais.
  - 3.3. Sulfetos maciços vulcanogênicos: Cu-Zn associados ao vulcanismo intermediário/félsico, Ni-Cu associados a derrames komatiíticos, black smokers caldeiras pórfiros.
- 4. Ferramentas geoquímicas e sua utilidade na localização de depósitos em áreas vulcanogênicas.
  - 4.1. A identificação dos paleo-ambientes tectônicos e da paleo-geografia.
  - 4.2. A localização e cartografia de níveis geológicos marcadores de séries de depósitos temporalmente equivalentes.

### Paragêneses Minerais e Modelos de Depósitos Minerais

Prof. Responsável: Bernardino R. de Figueiredo

15/04 (14:00 - 17:00) - 16/04 (9:00-12:00)

- 1. Bases experimentais e analíticas da petrogênese de minérios, tipos de diagramas de fases.
- Exemplos de relações composicionais e texturais de fases em minérios como subsídio aos estudos de gênese de depósitos (paragêneses contendo sulfetos, óxidos e metais preciosos), aplicações em tecnologia mineral e planejamento ambiental.
- 3. Mudanças pós-deposicionais: metamorfismo de minérios e deformação de minérios.
- 4. Orientação no estudo de mineralizações metálicas: modelos de evolução de depósitos, aplicações dos isótopos radiogênicos no estudo de fontes e idades das mineralizações. Singenetismo, epigenetismo e as teorias dos estágios múltiplos e multiprocessual.

Avaliação dos Alunos > Prova com consulta no dia 16/04 (14:00-17:00)

### **COMENTARIOS:**

O segmento de manto de composição granada lherzolito submetido 3 estagios de fusão com taxas sucessivas de 1, 5 e 20%, evidencia um padrão de distribuição dos 3 elementos ETR segundo uma curva que se coaduna com dos basaltes de arco-de-ilha, cf. Figura abaixo, gerada com valor MORB normalizado, relativamente enriquecido em elementos terras raras leves (La,Nd). Destaca-se no caso o comportamento do Yb, que provavelmente devido ao alto coeficiente de partição pela granada, deve ter ficado retido junto a mesma, enriquecendo o residuo resultante do 1º fundido. O 2º fundido mostra-se proveniente de uma fonte mais evoluida, já empobrecido em ETR.

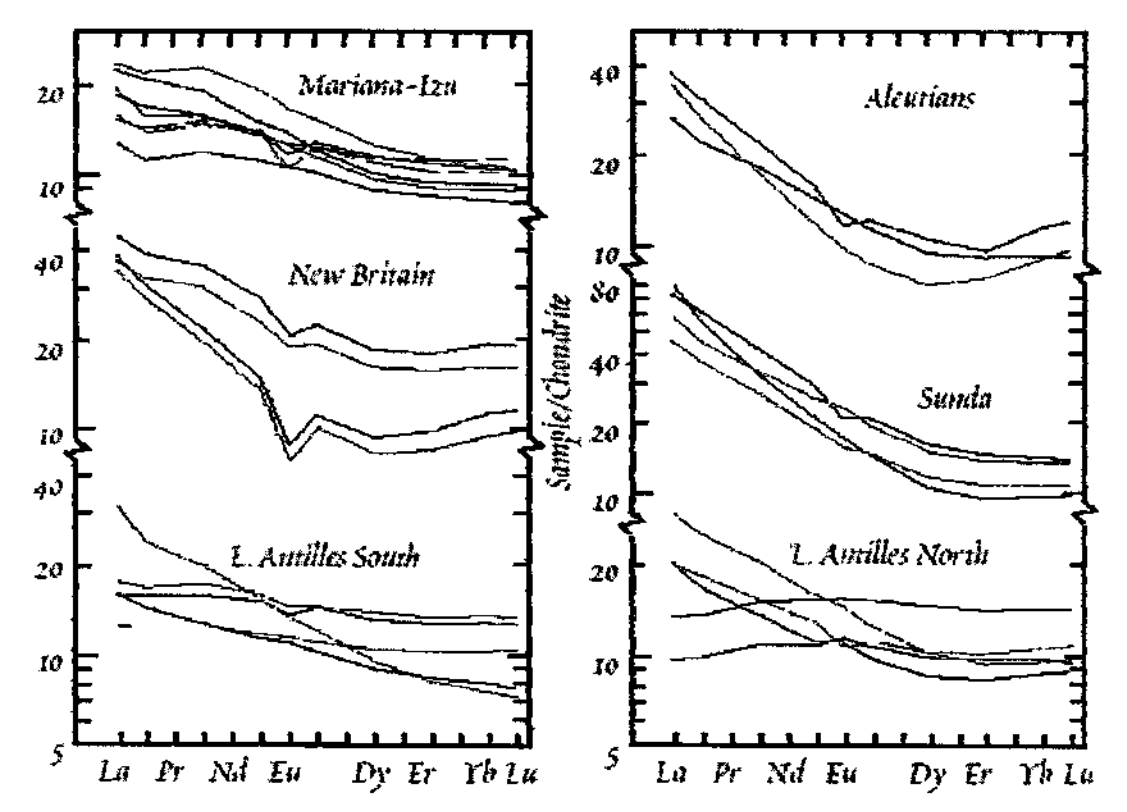
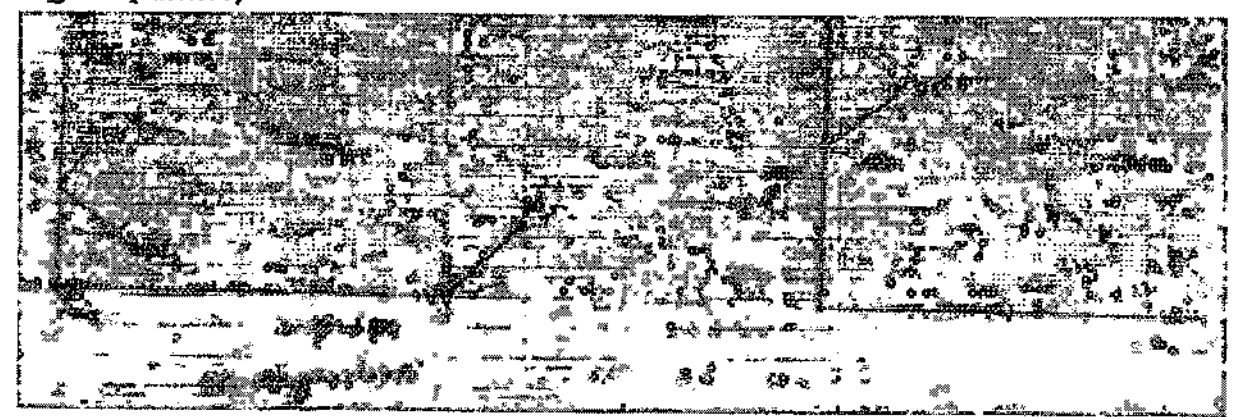
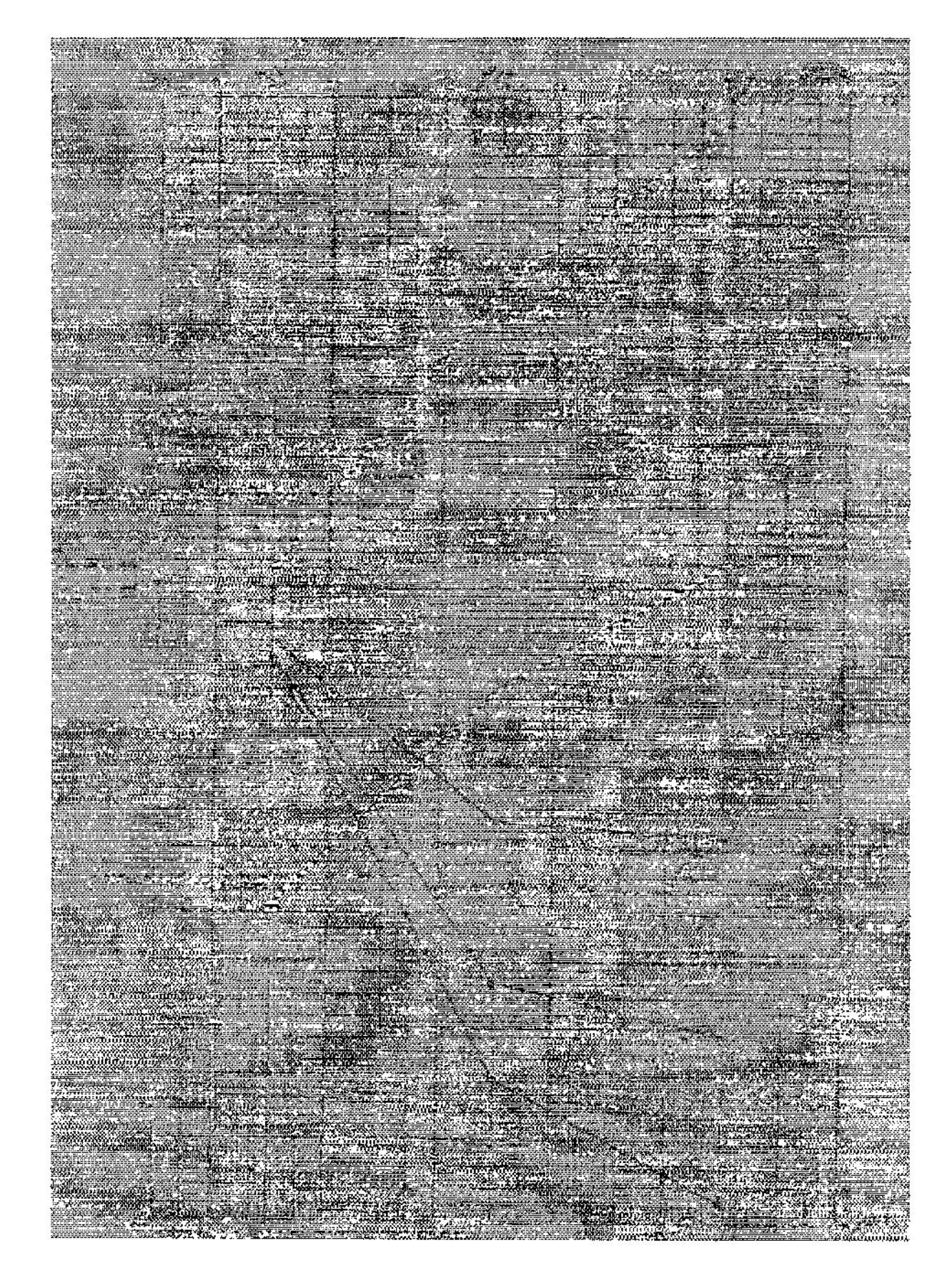


Figure 12.9. Rare earth patterns of some typical island arc volcanics. From White and Patchett (1984).

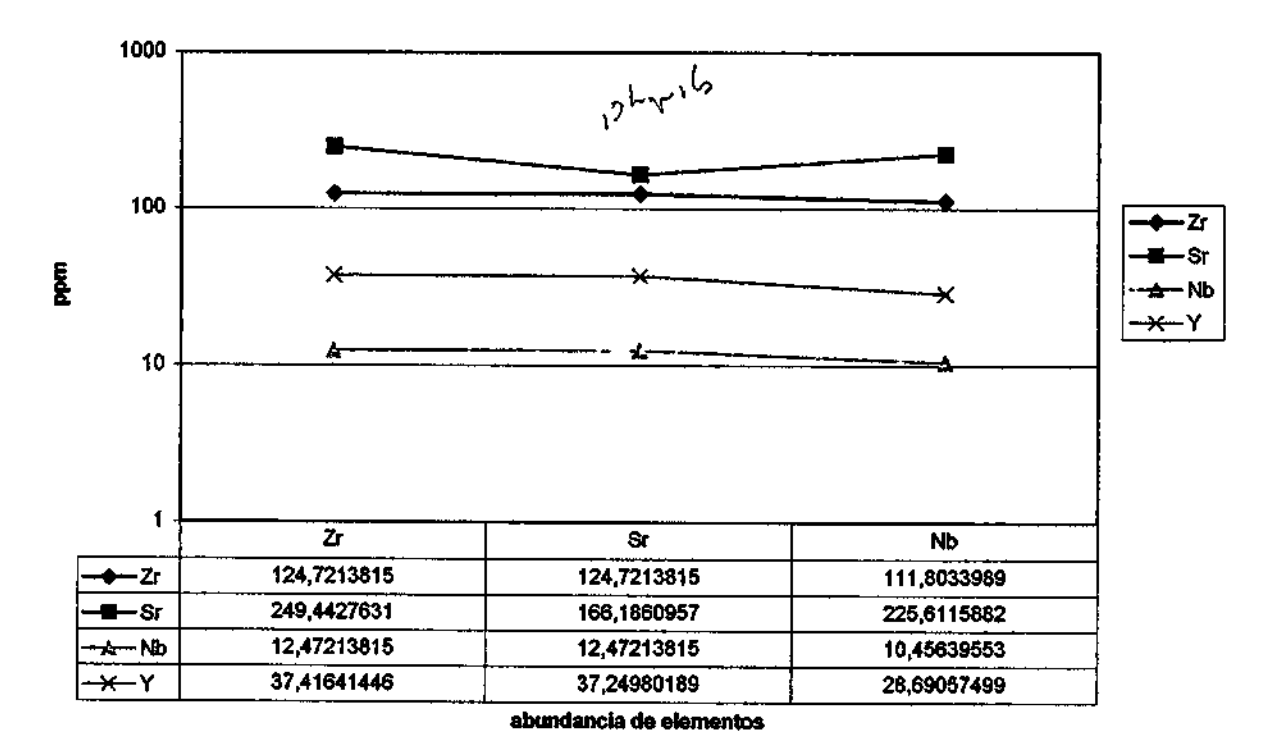
Campinas 16 de Abril de 2003 Aluno: Antonio João Paes de Barros

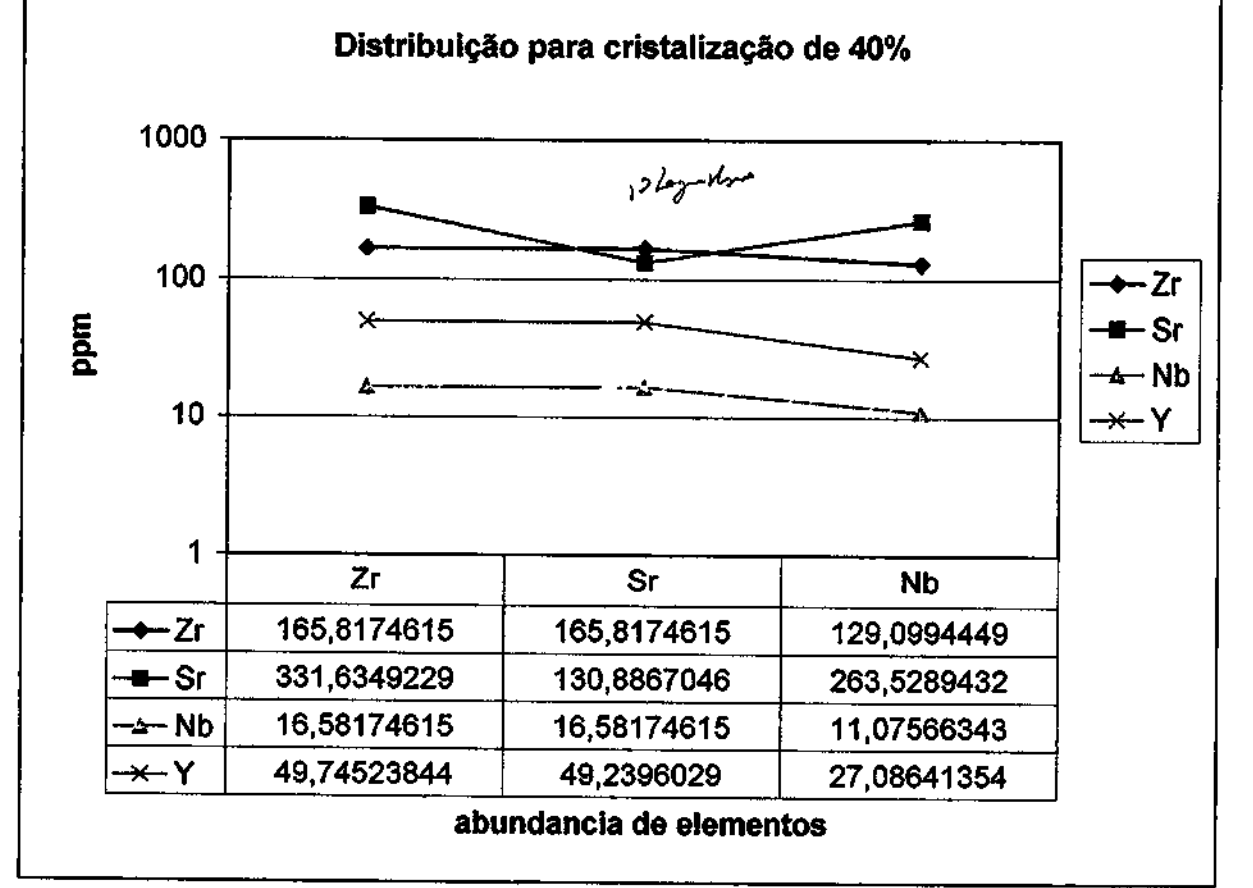
### Figuras (Anexos)

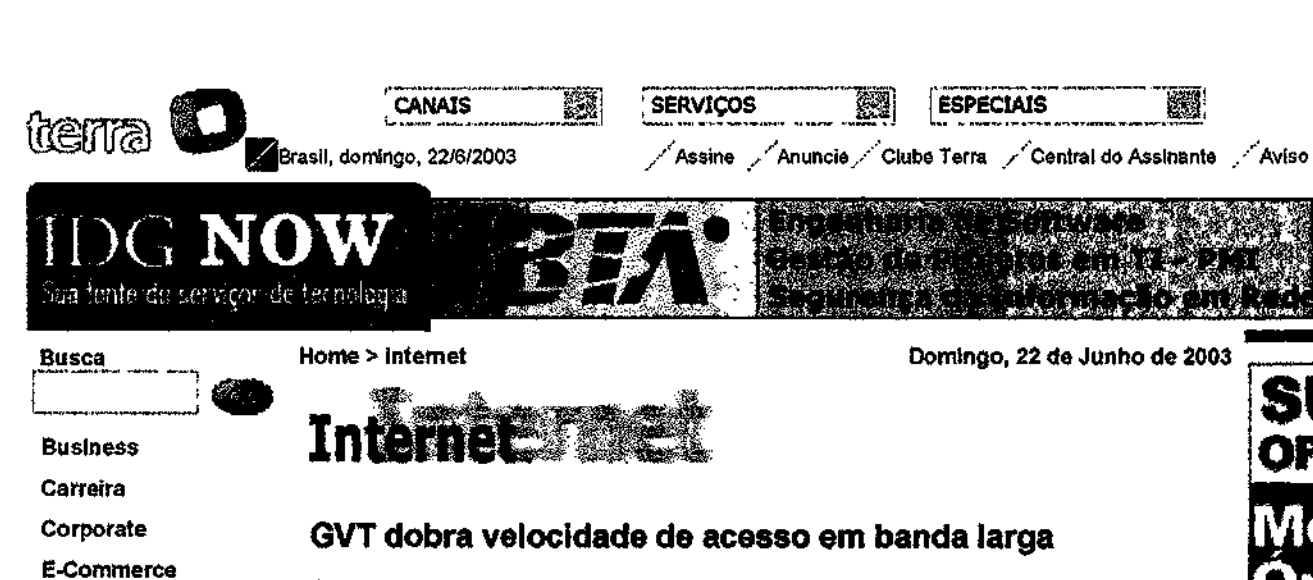




### Distribuição para a cristalização de 20%







Segunda-feira, 9 de Dezembro de 2002 - 17h02

**IDG Now!** André Borges

A partir desta semana, o Turbonet, serviço de banda larga da GVT também está disponível a velocidades de acesso de 512 Kliobits por segundo (Kbps) e 1 Megabit por segundo.

Além de oferecer o dobro da velocidade que os assinantes possuem atualmente, durante três meses, as novas opções do acesso via Assymetric Digital Subscriber Line (ADSL) excluem o pagamento de habilitação do serviço. que hoje sai por R\$ 50,00.

O valor da mensalidade do Turbonet, a 256 Kbps, é de R\$ 69,90. Para o acesso a 512 Kbps, o preço é de R\$ 94,90 por mês e para 1Mbps, o valor é de R\$ 164,90. Até então, os serviços de banda larga oferecidos pela GVT só

O produto está disponível para as cidades de Curttiba, Brasilia, Golânia, Porto Alegre, Maringá, Londrina, Florianópolis, Joinville, Culabá, Caxias do Sul e Gravatal.

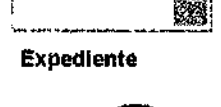
Para a habilitação do Turbonet, o usuário precisa adquirir um dos cinco modelos de modems compativeis - Speed Touch Pro Alcatel, ECI USB, 3COM OfficeConnect Remote 812 ADS Router, Parks Prestige 642R, 642RI, 642M e 645R, e TTSI M702 Plus.

Atualmente o Turbonet soma quatro mil clientes e pretende chegar a cinco mil até o final do ano, gerando uma base de dez mil usuários para a GVT, até março de 2003. Segundo Rodrigo Dienstmann, diretor de marketing da empresa, as novas velocidades devem ser responsáveis por 10% das vendas do Turbonet.

A expectativa é expandir a oferta de serviços para pequenas e médias empresas. "Hoje, temos uma base com 40% de usuários finais e 60% de clientes corporativos", comenta Dienstmann.

### Noticias relacionadas:

- Governo inaugura acesso grátis ao cidadão no Rio
- SuperiG é o provedor de acesso rápido da Telesp Celular
- · Ajato fornecerá acesso rápido a escolas estaduais
- Tô Ligado! expande venda de infra-estrutura da GVT
- · GVT, Grupos Internet e Fulano lançam acesso grátis
- · GVT reforça canal de vendas pela Web
- · Usuários dial-up da BrT podem navegar e receber chamadas



Games Now!

internet

PC News

Telecom

WebWorld Newsletters

Serviços

Colunas



SITE AUDITADO

Site relacionado:

\* www.gvt.com.br





[ Voltar para a capa de internet ] - [ Voltar para a capa do IDG Now! ]

IDG • IDG Now! • Job Universe • PC World • Web World • Computerworld • World Telecom • Business Standard Copyright © 2002 IDG Computerworld do Brasil LTDA. A reprodução de qualquer parte do conteúdo deste site ê proi Conheça nossa política de privacidade.

: powered - Este site utiliza o sistema Página 1.

Sobre a Brasil Telecom Relações com investidores Brasil Telecom Selectione outra região Mato Grosso 鑫 sa Turibo 🕶 Turbo Lite એ Linho telefonica a Servicos intelicentes O que é identificador de Chamadas Beneficios Chamada em Espera Onde tem Siga-me 🛎 A tecnologis Teleconferência **Provedores** Secretário Eletrônico Virtual # Plano 300 Pulsos

Produtos	de	A	a	Z
Turbo				



Envie seu Taiento

Mendinonua Preduces

Section

Por que a Brasil Telecom



A

\*

Preços e Tarifas

Sua casa

Por state tradade to the first to the







### Duvidas

Como vou sabei está na área coi do Turbo?

Escl:

### Quanto custa

Plano	Downstream	Upstream	Mensalidade (Fixa)*
Turbo 300	Até 300 Kbps	Até 150 Kbps	R\$ 85,92
Turbo 600	Até 600 Kbps	Atá 300 Kbps	R\$ 106,46
Mega Turbo	Até 1 Mbps	Até 300 Kbps	R\$ 214,00

Moderns

👸 Quento custa

🤴 Peça agora

Telecartofilia

Taxa de habilitação: R\$ 60,00\*\*

- (\*) Preços referentes somente ao acesso da Brasil Telecom, sem a assinatura do provedor
- (\*\*) Valor promocional por tempo indeterminado

Você encontrou o que estava procurando?

Sim 🕏 Não

₩ Pieno 14 Pra Você

⇒ řale.com

@ 5.0.S. Fone

Como você classifica a navegação até aqui?

- Fácil
- Regular
- Complicada



Por que opinar?



Política de Privacidade | © Brasil Telecom 2003

REFERÊNCIAS

BEURLEN, H., MELO, E.B. & VILAROEL, H.S. - 1982 - Remobilization of strata-bound scheelite indicated by tectonic, textural and crystalographic features in Brejuf Mihe, NE Brazil. In: Amstutz, G.C et al (Eds.) Ore Genesis - the State of the Art,

BOLES, J.R. - 1977 - Zeolites in low-grade metamorphic grades. In: Mumpton, F.A (Ed.) Short Course Notes on Mineralogy and Geology of Zeolites. Am. Mineral, Soc., 4:103-132 CRAIG, J.R. & BURTON, P.B. -- 1973 - Thermochemical approximation for sulfossalts. Econ. Geol., 68:493-506.

HOCHELLA, M.F., LIOU, J.G., KESKINEN, M.J. & KIM, H.S. - 1982 - synthesis and stability relations of magnesian idocrase.

ITO, J. & AREN, J.E. - 1970 - Idocrase: synthesis, phase relations and crystal chemistry. Am. Mineralogist, 55:880-912. KWAK, T.A.P. - 1987 - W-Sn skarn deposits and related metamorphic skams and granitoids. Elsevier, Devel.Econ. Geol., 24, 451 p. LIOU, J.G. - 1971a - Stilbite-laumontite equilibrium. Cont. Miner. Pet., 31:171-177

LIOU, J.G. - 1971b - Synthesis and stability relations of prehnite, Ca<sub>2</sub>Al<sub>2</sub>Si<sub>3</sub>O<sub>10</sub>(OH)<sub>2</sub>. Am. Mineralogist, 56:507-531. SALIM, J., LEGRAND, J.M., VERKAEREN, J. & SALEMINK, J. - 1991 - Some geological and petrological aspects of scheelite skarn formation in Serido region, northeastern Brazil. In: M. Pagel & P. Leroy (Eds.) Proceedings of the 25 SGA anniversary meeting, p 131-134, Nancy, France.

SALIM, J. - 1993 - Géologie, pétrologie et géochimie des skarns a scheelite de la mine Brejui, Currais Novos, région du Seridó, NE du Brésil. UCL/GEM, tese de doutorado, 272 p, Louvain, Bélgica.

### ASPECTOS PRELIMINARES SOBRE AS MINERALIZAÇÕES AURÍFERAS DA REGIÃO DE PONTES E LACERDA (MT)

MAURO CESAR GERALDES PÓS-GRADUANDO DA UNIÇAMP MANUEL CORREÍA DA COSTA NETO PÓS-GRADUANDO DA UNICAMP

INTRODUÇÃO

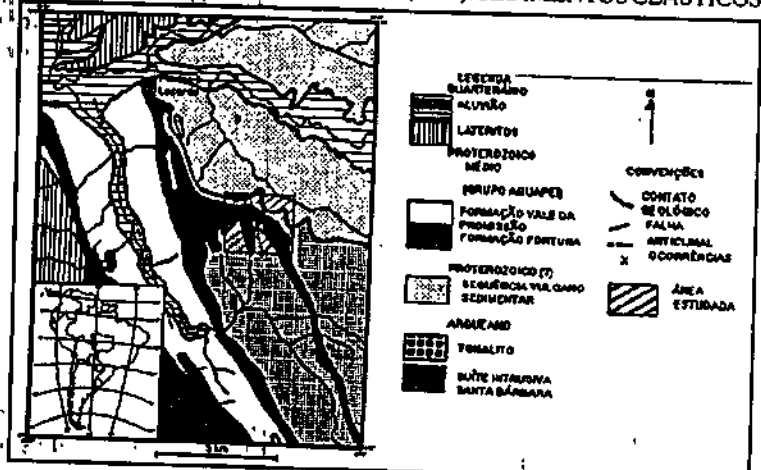
As mineralizações auriferas da região de Pontes e Lacerda estão localizadas no SW do Cráton Amazônico e a NW do Estado de Mato Grosso. Ocorrem núma faixa de aproximadamente 50Km de largura e 200Km de comprimento, que se estende de Porto Esperidião até Vila Bela, passando por Pontes e Lacerda. De provável idade Proterozoica Média, estas mineralizações tem origem ligada a processos hidrotermais em falhamentos de direção NW que atingem o embasamento granítico-tonalítico, a sequência vulcano-sedimentar e os sedimentos clásticos. Outras ocorrências semelhantes existentes na Bolívia e podem indicar a continuidade desta faixa, duplicando o seu comprimento. No lado brasileiro duas ocorrências se destacam: a primeira (a única mina em atividade), a 70 Km ao norte de Pontes e Lacerda, comporta a Mineração Santa Elina descrita por Souza (1988); a outra ocorrência importante, denominada de Lavrinha, localiza-se a 12Km de Pontes e Lacerda,e foi objeto de avaliações geológicas aqui descritas.

### II) ESTRATIGRAFIA

Na vizinhança da ocorrênçia da Lavrinha é identificada a seguinte estratigrafia: EMBASAMENTO -Composto por tonalitos levemente bandados. Originalmente enquadrado como Complexo Rio Vermelho por Leite et al. (1986), e como Complexo Metamórfico Alto Guaporé por Menezes (1981), (in. Takahashi et al., 1990). ROCHAS VULCANO-SEDIMENTARES -Monteiro et al (1986) as interpretam como pertencentes ao Greenstone Belt do Alto Jauru. Semelhanças dos filitos, metassiltitos, xistos e vulcânicas ácidas a intermediárias desta unidade com Greenstone Belts de outras regiões foram identificadas por Leite et al (1986). A faixa mais ao leste do Greenstone Belt Alto Jauru também foi denominada de Sequência Vulcano. Sedimentar Pontes e Lacerda por Takahashi et al (1986). SEDIMENTOS CLÁSTICOS (metamorfisados na facies da clorita),"

do Grupo Aguapei (Souza et al., 1980). Estudado por Takahashi et al (1990) e Saes et al (1994), compreende:

- a Formação Fortuna (conglomerados oligomíticos organizados e desorganizados arenitos turbidíticos);
- a Formação Vale da Promissão (pelitos com estratificação/ laminação plano paralela e raras intercalações areníticas),onde localiza-se a ocorrência Lavrinha; e
- formação Morro Cristalino (conglomerados organizados e arenitos com estratificação cruzada).



Journal Home Up Search Eisevier

FREE ELECTRONIC ACCESS for all - until 31 December 1999. Thereafter, you will have free access to full-text articles if your library holds a paid paper subscription to this journal.

### **Ore Geology Reviews**

Volume 12, Issue 6, 25-October-1998

Ore Geology Reviews Vol. 12 (6) pp. 381-454 Copyright (c) 1998 Elsevier Science B.V. All rights reserved.

## *P--T--t*--deformation--fluid characteristics of lode gold deposits: evidence from alteration systematics

- <sup>a</sup> T. Campbell McCuaig
- a Robert Kerrich
- <sup>a</sup> , Department of Geological Sciences, University of Saskatchewan, , Saskatoon, Saskatchewan, Canada S7N 5E2

Received 1 February 1997, Accepted 8 April 1998

I prouse Costigo Buchan

O limita nostanga

### Abstract

Structurally hosted lode gold-bearing quartz vein systems in metamorphic terranes possess many characteristics in common, spatially and through time; they constitute a single class of epigenetic precious metal deposit, formed during accretionary tectonics or delamination) The ore and alteration paragenesis encode numerous intensive and extensive variables that constrain the pressuretemperature--time--deformation--fluid (P--T--t--d--f) evolution of the host terrane and hence the origin of the deposits. The majority of lode gold deposits formed proximal to regional translithospheric terrane--boundary structures that acted as vertically extensive hydrothermal plumbing systems; the structures record variably thrust and transpressional-transtensional displacements. Major / mining camps are sited near deflections, strike slip or thrust duplexes, or dilational jogs on the major structures. In detail most deposits are sited in second or third order splays, or fault intersections, that define domains of low mean stress and correspondingly high fluid fluxes. Accordingly, the mineralization and associated alteration is most intense in these flanking domains. The largest lode gold mining camps are in terranes at greenschist facies; they possess greenschist facies hydrothermal alteration assemblages developed in cyclic ductile to brittle deformation that reflects interseismiccoseismic cycles. Interseismic episodes involve the development of ductile S-C shear zone fabrics that lead to strain softening. Pressure solution and dislocation glide microstructures signify low differential stress, slow strain rates of =10<sup>-13</sup> s<sup>-1</sup>, relatively high confining stress, and suprahydrostatic fluid pressures. Seismic episodes are induced by buildup of fluid pressures to supralithostatic levels that induce hydraulic fracturing with enhanced hydraulic conductivity, accompanied by massive fluid flow that in turn generates mineralized quartz veins. Hydrothermal cementing of ductile fabrics creates http://www.elsevier.nl/cgi-bin/cas/t.../browse.cgi?year=1998&volume=12&issue=6&aid=33 23/01/2000

hardening, lowers hydraulic conductivity, and hence promotes fault valve behaviour. Repeated interseismic (fault valve closed), coseismic (valve open) cycles results in banded and/or progressively deformed veins. Alteration during both interseismic and coseismic episodes typically involves the hydrolysis of metamorphic feldspars and Fe. Mg. Ca-silicates to a muscovite/paragonitechlorite±albite/K-feldspars assemblage; carbonization of the metamorphic minerals to Ca, Fe, Mgcarbonates; and sulphidation of Fe-silicates and oxides to sulphides. Geochemically this is expressed as additions of K, Rb, Ba, Cs, and the volatiles H<sub>2</sub>O, CO<sub>2</sub>, CH<sub>4</sub>, H<sub>2</sub>S in envelopes of meter to kilometer scale. K/Rb and K/Ba ratios are close to average crustal values, potentially ruling out late stage magmatic fluids where K/Rb and K/Ba are respectively lower and higher than crustal values. Smaller deposits are present in subgreenschist, and amphibolite to granulite facies terranes. The former are characterized by subgreenschist facies alteration assemblages, vein stockworks, brittle fracturing and cataclastic microstructures, whereas the latter feature amphibolite to granulite facies alteration assemblages, ductile shear zones, ductilely deformed veins, and microstructures indicative of dislocation climb during interseismic episodes. Hence the lode gold deposits constitute a crustal continuum of deposits from subgreenschist to granulite facies, that all formed synkinematically in broad thermal and rheological equilibrium with their host terranes. These characteristics, combined with the low variance of alteration assemblages in the higher temperature deposits, rules out those being metamorphosed counterparts of greenschist facies deposits. Deposits at all grades have a comparable metal inventory with high concentrations of Au and Ag, where Au/Ag averages 5, with enrichments of a suite of rare metals and semi-metals (As, Sb, ±Se, Te, Bi, W, Mo and B), but low enrichments of the base (Cu, Pb, Zn, Cd) and other transition (Cr, Ni, Co, V, PGE, Sc) metals relative to average crust. The hydrothermal ore-forming fluids were dilute, aqueous, carbonic fluids, with salinities generally =3 wt.% NaCl equivalent, and  $X_{(CO2\pm CH4)}$  10--24 wt.%. They possess low Cl but relatively high S, possibly reflecting the fact that metamorphic fluids are generated in crust with ~200 ppm Cl, but ~1 wt. %S. Primary fluid inclusions are: (1) H<sub>2</sub>O--CO<sub>2</sub>, (2) CO<sub>2</sub>-rich with variable CH<sub>4</sub> and small amounts of H2O, and (3) 2-phase H2O (liquid--vapor) inclusions. Inclusion types 2 and 3 represent immiscibility of the type 1 original ore fluid. Immiscibility was triggered by fluid pressure drop during the coseismic events and possibly by shock nucleation, leading to highly variable homogenization temperatures in an isothermal system. A thermodynamic evaluation of alteration assemblages constrains the ore fluid pH to 5--6; redox controlled by the HSO<sub>4</sub>/H<sub>2</sub>S and CO<sub>2</sub>/CH<sub>4</sub> buffers; and  $X_{\rm CO2}$  that varies. The higher temperature deposits formed under marginally more oxidizing conditions. Stable isotope systematics of the ore and gangue minerals yields temperatures of 200--420°C, consistent with the crustal spectrum of the deposits, very high fluid rock ratios, and disequilibrium of the externally derived ore fluids with wall rocks. The ore fluid  $\delta D$  and  $\delta^{18}O$  overlap the metamorphic and magmatic ranges, but the total dataset for all deposits is consistent only with dominantly metamorphic fluids. Carbon isotope compositions of carbonates span -11 to +2% and show provinciality: this is consistent with variable proportions of reduced C (low  $\delta^{13}$ C) and oxidized C (higher  $\delta^{13}$ C) in the source regions contributing  $CO_2$  and  $CH_4$  to the ore fluids. In some instances, C appears to have been derived dominantly from proximal to the deposits, as in the Meguma terrane  $(\delta^{13}C\sim 22\%)$ . Sulphur isotope compositions range from 0 to +9‰, and are consistent with magmatic S, dissolution or desulphidation of magmatic sulphides, or average crustal sulphides. <sup>34</sup>S -depleted sulphides occur in ore bodies such as Hemlo where fluid immiscibility led to loss of H2S and consequent fluid oxidation. Gold is probably transported as an  $Au(HS)_2^-$  complex. Relatively high S but low Cl in the hydrothermal fluid may explain the high Au slow base metal characteristic of the deposits. Gold precipitated in ore bodies due to loss of S from the ore fluid by sulphidation of wall

http://www.elsevier.nl/cgi-bin/cas/t.../browse.cgi?year=1998&volume=12&issue=6&aid=33 23/01/2000

# Classificação granulométrica de fragmentos e agregados piroclásticos \*

l amanno (mm)	Fragmentos piroclásticos	itos ticos	Agregado inconsolidado	Equivalente littificado
·	arredondados e conformados por fluidalidade	angulares		
grosseiros 256 – – – – – – finos	- · BOMBAS	BLOCOS	AGLOMERADOS (BOMBAS)	AGLOMERADOS (BOMBAS)
64		- - 1	BRECHAS PIROCLÁSTICAS	BRECHAS PIROCLÁSTICAS
2	LAPILLI		DEPÓSITO DE LAPILLI	LAPILLITO (lapillistone)
grosseiras 1/16	· · CINZA		DEPÓSITO DE CINZAS	TUFO 4 2mm

<sup>\*</sup> origem demonstrada

MARTIN, H. - 1986 - Effect of steeper Archean geothermal gradient on chemistry of subduction-zone magmas. Geology, 14:753-756.

THOMSEN, F. P. R., & KUYUMJIAN, R. M. - 1994 - Caracterização geoquímica preliminar das rochas granitóides da região de Conceição do Norte (TO). In: Anais do IV Simpósio de Geologia do Centro-Oeste, Brasília, p. 26-27.

IARGAS, M. C. - 1992 - Geologia das rochas granito gnáissicas da região de Crixás, Guarinos, Pilar de Goiás e Hidrolina, Goiás. Brasília, p. 172 (Dissertação de Mestrado, IG-UnB, inédita).

# TONALITO ARQUEANO COM TEXTURA ÍGNEA PRESERVADA NOS TERRENOS GRANITO-GREENSTONE DO QUADRILÁTERO FERRÍFERO, MG

M. A. CARNEIRO, H. JORDT-EVANGELISTA

DEGEO/EM/UFOP

W. TEIXEIRA

IG/USP

E. M. DA CUNHA

DEGEO/EM/UFOP (BOLSISTA DE INICIAÇÃO CIENTÍFICA - CNPQ).

A região conhecida como Quadrilátero Ferrifero, em Minas Gerais, compreende duas sequências supracrustais (Supergrupo Minas e Supergrupo Rio das Velhas) e um complexo metamórfico que foi gerado a partir do Arqueano Médio Cameiro 1992a; Carneiro et al. 1993; Machado & Carneiro 1992; Machado et al. 1992; Noce et al. 1992). Este complexo metamórfico, que tem recebido inúmeras denominações locais (e.g. Bação, Belo Horizonte, Caeté, etc), é conhecido na região situada a leste da Serra da Moeda e sul da Serra dos Três Irmãos como Complexo Metamórfico Bonfim (Carneiro 1992a). Nesta região, o Complexo Metamórfico Bonfim é constituído por várias unidades litoestratigráficas (Carneiro 1922); Jordt-Evangelista et al. 1993), das quais se destacam os Tonalitos Samambaia que afloram predominantalente na sua porção sudeste (Carneiro 1992a). Estes tonalitos são intrusivos nas unidades mais antigas do Complexo Detamórfico Bonfim (e.g. Gnaisses Alberto Flores, Anfibolitos Paraopeba e Gnaisses Souza Noschese) e, freqüentemente, fruídidos pelos Anfibolitos Candeias (Carneiro 1992a).

Petrograficamente, os Tonalitos Samambaia são rochas leucocráticas de cor cinza a cinza escura, faneríticas. ocerizada por cristais euédricos a subédricos de plagioclásio, cristais anédricos de microclínio e quantzo, com biotita tripblenda subordinadas. O plagiociásio é o principal constituinte em volume destas rochas (60%). Ele mostra cristais tuados e geminados segundo Carlsbad, albita e periclina e uma frequente saussuritização para epídoto e sericita. Dusões de biotita castanha e, mais raramente, de quartzo globular são encontradas nos plagioclásios, que também resentam-se antipertíticos com manchas anédricas de microclínio. O microclínio é muito subordinado, perfazendo no timo 10% em volume nestas rochas. Ele mostra cristais anédricos e muito raramente subédricos, com geminação tartan Contribuição intersticial junto com o quartzo. O quartzo (30%) é sempre anédrico intersticial e apresenta-se em mosaicos mitalizados, com extinção ondulante. Biotita e hornblenda são os minerais varietais destas rochas. A biotita castanha Amais frequente, atingindo até 10% do volume da rocha. Ela mostra agregados la melares com transformação para clorita, ptiono, grãos anédricos de titanita e agulhas de rutilo. A hornblenda aparece em algumas amostras com pleocroísmo minho, amarelo pálido ou esverdeado. O seu volume pode suplantar, em alguns casos, o volume de biotita, alcançando 10%. Os minerais opacos são raros e mostram formas anédricas corroídas e/ou esqueletiformes associadas à biotita dibinomblenda e bordejados por titanita anédrica granular. A titanita pode mostrar também grandes cristais subédricos Modricos nos felsdpatos. Outros minerais acessórios são allanita, zonada e com auréola de clinozoisita, zircão e apatita, cidiomórficos. Calcita, epídoto, sericita e clorita são minerais secundários crescendo sobre a paragênese principal. e Ouimicamente, os Tonalitos Samambaia têm uma composição média de SiO,, em torno de 65%, indicando uma mera intermediária para este conjunto rochoso. A sua norma CIPW indica uma composição tipo diopsídio hiperstênio wivo com magnetita e ilmenita. A sua razão Fe<sub>2</sub>O<sub>3</sub> '/MgO é de 2,2 e o seu padrão geoquímico de elementos de terras milito fracionado (La Yb = 20). Estas rochas têm um caráter essencialmente metaluminoso e guardam uma

Lorialitos Samambaia foram analisados por diferentes metodologías geocronológicas (Carneiro 1992a, Coma discordia U/Lorialitos Samambaia foram analisados por diferentes metodologías geocronológicas (Carneiro 1992a, Lorialita partir de seus concentrados de zircão, mostra uma idade 2780 +3/-2 Ma, que é interpretada como a melhor dida partir de seus concentrados de zircão, mostra uma idade 2780 +3/-2 Ma, que é interpretada como a melhor dida partir de seus concentrados de gircão, mostra uma idade 2780 +3/-2 Ma, que é interpretada como a melhor dida partir de uma fonte mantélica, ocorreu 200 e 2,80 Ga, como atestado por suas idades Sm/Nd (-) em rocha total. Outras idades U/Pb, variando entre 2,77 Ga também foram encontradas para os concentrados de titanita. A concordância de idades U/Pb dos zircões e diferencia, por outro lado, a inexistência de eventos tectono-termais de alto grau (fácies anfibolito) posteriores à fação ígnea dos Tonalitos Samambaia (Carneiro 1992a; Machado & Carneiro 1992). Uma idade isocrônica Rb/Loria total apresenta, por sua vez, valores da ordem de 1188 ± 46 Ma com elevada razão Sr\*7/Sr\*6 inicial de 0,713 de 1100 a la la parentes K/Ar, por seu turno, obtidas de concentrados de biotita exibem uma variação de 1100 a la la la la la la gira de la la la concentrados de cristalização (gnea destas rochas, indica que

os Tonalitos Samambaia tiveram os seus sistemas isotópicos Rb/Sr e K/Ar reequilibrados de maneira incompleta (e granda de maneira incompleta de maneira incompleta (e granda de maneira incompleta de maneira incompleta (e granda de maneira incompleta de maneira incompleta de maneira incompleta (e granda de maneira incompleta de maneira incompleta de maneira incompleta de maneira incompleta (e granda de maneira incompleta de maneira incompleta de maneira incompleta de maneira incompleta (e granda de maneira de maneir "idades Rb/Sr mais jovens e razões Sr#7/Sr# mais elevadas) no decofrer de um evento tectono-termal de baixo grau (facien xisto verde); ocorrido no Proterozóico Médio (Carneiro & Teixeira 1992; Teixeira et al. 1993). A intensidade deste evento, porém, foi insuficiente para obliterar as texturas primárias dos Tonalitos Samambaia. Em rochas arqueanas, a preservação de texturas de cristalização magmática é uma raridade, daí serem estes tonalitos rochas tão notáveis na evolução crustal do Quadrilátero Ferrífero e da porção meridional do Craton do São Francisco.

### REFERÊNCIAS BIBLIOGRÁFICAS

CARNEIRO, M. A. - 1992a - O Complexo Metamórfico Bonfim Setentrional (Quadrilátero Ferrifero, Minas Gerais): Litoestratigrafia e Evolução Geológica de um Segmento de Crosta Continental do Arqueano. São Paulo, 233p. (Tese de Doutoramento, Instituto de Geociências, Universidade de São Paulo).

CARNEIRO, M. A. - 1992b - O Complexo Metamórfico Bonfim Setentrional. Revista da Escola de Minas, 45(1,2):155-156 CARNEIRO, M. A. & TEIXEIRA, W. - 1992 - Discordância de idades radiométricas U-Pb e Rb-Sr no craton do São Francisco ur emeridional: evidências a partir do Complexo Metámórfico Bonfim Setentrional, Quadrilátero Ferrífero, Minas Gerais, 🖡 CONGRESSO BRASILEIRO DE GEOLOGIA., 37, São Paulo, 1992. Resumos... São Paulo, SBG, p 189-190.

CARNEIRO, M. A.; TEIXEIRA, W.; MACHADO, N. - 1993 - Evolução geológica policíclica de terrenos granito-greenstones Arqueano Superior do Craton do São Francisco Meridional: Um exemplo a partir do Complexo Metamórfico Bonfing " Setentrional. In: SIMPÓSIO DO CRATON DO SÃO FRANCISCO., II, Salvador, 1993. Anais... Salvador, SBG, 70-74 JORDT-EVANGELISTA, H.; CARNEIRO, M. A.; LINDENBERG, S. F. - 1993 - Variações químicas do Granito Mamoria.

"(Complexo Metamórfico Bonfim) na zona de cisal/idimento do contato com o Supergrupo Minas, Quadrilátero Ferriero " Minas Gerais. In SIMPÓSIO DE GEOLOGIA DE MINAS GERAIS, 7; SIMPÓSIO NACIONAL DE ESTUDOS TECTÔNICOS 4, WORKSHOP GEOLOGIA ESTRUTURAL DOS MINÉRIOS DE FERRO. Belo Horizonte, 1993. Anais... Belo Horizonte, SBG/Núcleo de Minas Gerais, 1993, p. 108-111.

MACHADO, N. & CARNEIRO, M. A. - 1992 - U-Pb evidence of Late Archean tecton othermal activity in southern São Francisco shield, Brazil. Canadian Journal of Earth Sciences, 29:2341-2346.

MACHADO, N.; NOCE, C. M.; CARNEIRO, M. A. - 1992 - U-Pb ages constrainsts on a major Late Archean event in the Southern São Francisco Craton, Brasilian Shield. In: JOINT ANNUAL MEETING/CONGRESS ANNUEL COMMUN, Wolfville 1992. Abstracts/Résumés... Wolfville, GAC/AGC, MAC/AMC, v. 17 p. A70.

NOCE, C. M.; MACHADO, N.; CARNEIRO, M. A. - 1992 - 600 Ma of Polyphase Archean Evolution of the Southern Sto Francisco Craton, Brazil. Eos, Transactions, Americam Geophisycal Union, Supplement, 73(14):319.

PEARCE, J. A.; HARRIS, N. B. W.; TINDLE, A.G. - 1984 - Trace Element Discrimination Diagrams for the Tectonic Interpretation of Granitic Rocks. Journal of Geology, 25(4):956-983.

TEIXEIRA, W.; CARNEIRO, M. A.; NOCE, C. M.; MACHADO, N.; SATO, K. - 1993 - Pb, Sr and Nd isotope constraints on the Archean evolution of gneissic-granitoid complexes in the southern São Francisco Craton, Brazil. In: INTERNATIONAL ARCHAEAN SYMPOSIUM., Beijing, 1993. Anais... (no prelo).

### UMA TENTATIVA PRELIMINAR DE APLICAÇÃO DA ESTRATIGRAFIA DE SEQUÊNCIAS AO GREENSTONE BELT RIO DAS VELHAS, QUADRILÁTERO FERRÍFERO (MG)

ORIVALDO F. BALTAZĂ

CORRÊA NETO; SÉRGIO L. SILVA; MÁRCIA ZUCHETTI; JÉSSICA B. CARVALHO E FREDERICO O. RAPOSO CPRM-SUREG/8H, AV. BRASIL, 1731, FUNCIONÁRIOS, BH(MG)

### INTRODUCÃO

É proposto um modelo para a deposição do greenstone belt Rio das Velhas (GBRV), através da identificação de sequências sedimentares. A principal fonte de consulta foi o mapeamento geológico (1:25.000) executado pela CPRM para o DNPM, na porção setentrional do Quadrilátero Ferrífero.

O Supergrupo Rio das Velhas (SGRV) foi definido por Dorr et al. (1957) como "Série Rio das Velhas", dividido em Grupo Nova Lima (GNL), e Grupo Maquiné. Subdivisões foram feitas no GNL por Ladeira (1980), Oliveira et al. (1983) e Vieira & Oliveira (1988). A CPRM dividiu, informalmente, da base para o topo, o SGRV em:

Grupo Nova Lima: Unidade Basal (metavulçânicas básicas e metaultrabásica com sedimentos químicos e xistos carbonosos subordinados); Unidade Média (metavulcânicas básicas a intermediárias com abundante formação ferrifera e metachert) e Unidade Superior (metapiroclásticas e metapelitos).

Grupo Maquiné: Formação Palmital (inferior, sericita-xistos e metapelitos carbonosos; superior: sericita quartzo-xistos com cloritoide) e Formação Casa Forte (inferior: quartzitos sericíticos e conglomerados polimíticos: superior: quartzitos microconglomeráticos imaturos); A

### SEQÜÊNCIAS SEDIMENTAREŞ

Foram separadas quatro sequências no GBRV, a saber: RV, predominantemente vulcânica, RV, vulcanoquímica,

38º Congresso Brasileiro de Geologia - Balneário Camboriú - SC - 1994





RV<sub>3</sub>, vulcanociá A seqüê. algumas intercal menos em parte,

RV, grat a intermediárias, ambiente de baix Em RV,

separados. RV<sub>3.</sub> e metassiltitos ta ambiente depo RV<sub>4</sub> com polimíticos. Hág influenciado pela RV e RV que

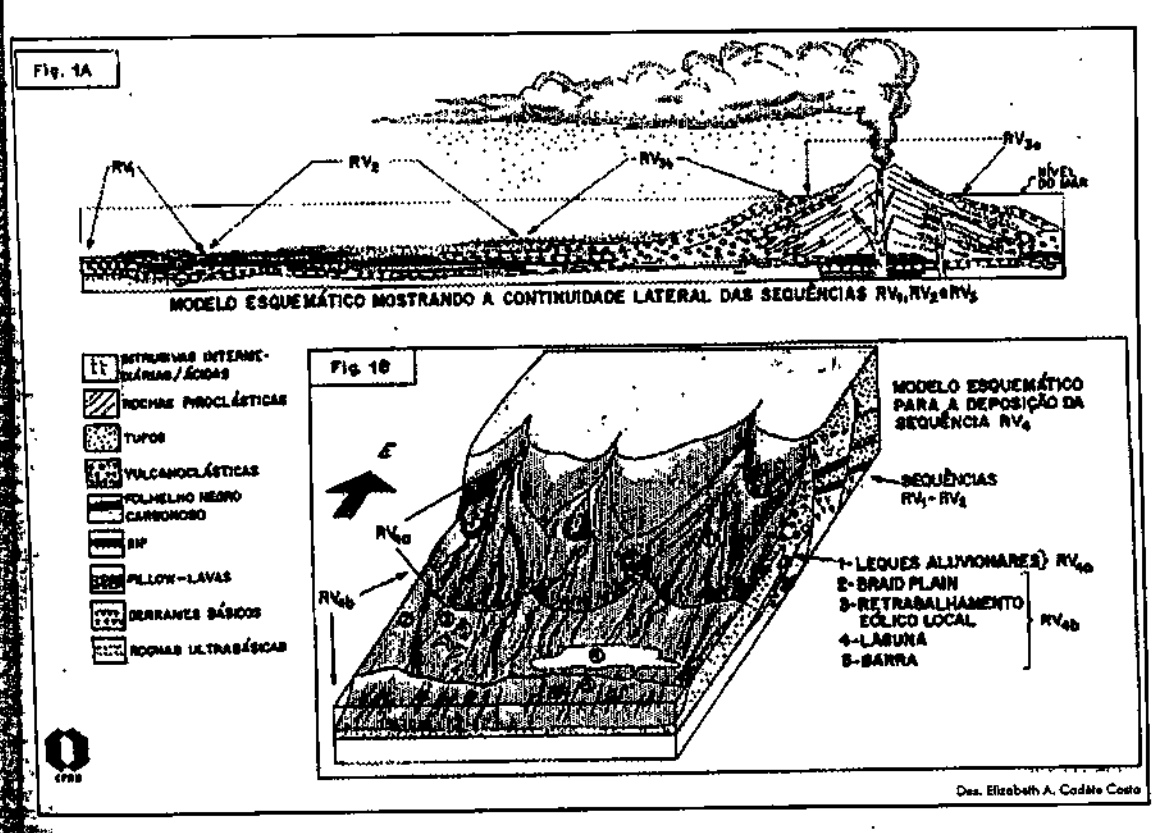
### CONCLUSÕES

No GBR diversidade de co posterior, podene rápida deposição medições prelimi Estudos i mentos sobre terr

### BIBLIOGRAFIA

DORR, J.N. 2D; Quadrilátero, LADEIRA, E. A. -15 Gerais, Brazil. OLIVEIRA, G.A.I.; GEOLOGIA D VIEIRA, F.W.; OLIV MINERAIS DO

EVOLUÇÃO GEOLÓI



y vulcanoclástica e RV4, clástica (vide figura la e lb).

A sequência RV, é essencialmente vulcânica, formada por metabasaltos com pillows e raras texturas spinifex. Há nagumas intercalações de metapelitos carbonosos e formações ferríferas. Ocorrem, ainda, metaultrabásicas, que são pelo nagumas em parte, intrusivas.

RV, grada lateral e verticalmente para a sequência vulcanoquímica RV, composta por metavulcânicas básicas a fullermediárias, com intercalações de formações ferríferas, metacherts e metapelitos carbonosos. A sedimentação em

imbiente de baixa energia, sugere condições marinhas profundas ou uma bacia restrita, com pouco aporte clástico.

Em RV<sub>3</sub>, o magmatismo torna-se intermediário a ácido e a sedimentação, clástica. Dois conjuntos de facies foram marados, RV<sub>36</sub> (metatufos, lapili-tufos e aglomerados vulcânicos, com metatufitos subordinados) e RV<sub>36</sub> (metarenitos metassititos tufáceos, com metapelitos carbonosos intercalados). Há transições laterais e verticais entre RV<sub>3a</sub> e RV<sub>3b</sub>. Dambiente deposicional ainda não está bem caracterizado, sendo, entretanto, marinho.

RV, compõe-se de metarenitos imaturos composicional e texturalmente, metaorto- e metaparaconglomerados polimíticos. Há grande variação lateral e vertical de facies. Depositou-se em ambiente tracional de alta energia, fortemente influenciado pela tectônica. Há litoclastos das outras sequências nos conglomerados. Duas associações foram identificadas, Ny e RV , que parecem, respectivamente, representar leques aluvionares e uma braid plain (figura 1b).

### **CO**NCLUSÓ ES

10

S.

ĊŌ he

SV.

50

No GBRV há evidências que permitem a reconstrução de sua história sedimentar. O GBRV possuía uma midade de condições ambientais e tectônicas, com as sequências RV, RV, e RV, coexistindo (figura 1a). RV, é esterior, podendo ser associada ao início da inversão da bacia, com rápido soerguimento das sequências anteriores e de deposição de sedimentos imaturos (figura 1b). Sua área-fonte situava-se à leste de sua posição atual, a julgar por timentes preliminares de paleocorrentes. Não há, no momento, maiores dados sobre a geometria da bacia.

Estudos posteriores poderão comprovar ou não esta proposta, refinando-a e melhorando em muito os conheciministration de la companie de la co

### LIOGRAFIA

N. 2D) GAIR, J.E; POMERENE. J.B.; RYNEARSON, G. A. -1957- Revisão da estratigrafia pré-cambriana do Madodrilálero Ferrifero: Brasil, DNPM-DFPM, avulso, 81, 31 p.

E.A.-1980- Metallogenesis of gold of the Morro Velho Mine and in the Lima District, Quadrilatero Ferrifero, Minas Girais, Brazil, Tese de doutorado, University of Western Ontario, s.ed., 272 p.

MERA, G.A.I.; CLEMENTE, O.L.C.; VIAL, D.S. -1983- Excursão à mina de ouro de Morro Velho. In: SIMPÓSIO DE GEOLOGIA DE MINAS GERAIS, 2. Belo Horizonte, 1983, Anais... Belo Horizonte, SBG. p.497-505.

🖺 🛶 N.; OLIVEIRA, G.A.I. - 1988- Geologia do Distrito Aurífero de Nova Lima, Minas Gerais. In: PRINCIPAIS DEPÓSITOS MINERAIS DO BRASIL, Brasilia, v.3, p.377-391.

### Curso de Pós-Graduação em Metalogênese Disciplina – Processos Metalogenéticos 1º Semestre de 2003

Prof. Elson Paiva de Oliveira

### Modelagem geoquímica de Processos Magmáticos

A modelagem geoquímica tenta reconstituir teoricamente os processos envolvidos na gênese de uma determinada suite de rochas ígneas.

### 1) Cristalização fracionada utilizando elementos traços:

Diferentes minerais podem incorporar ou excluir elementos traços com maior seletividade do que o fazem com os elementos maiores. Essas preferências influem na distribuição dos elementos traços, tornando-os muito importantes para o entendimento dos processos envolvidos na evolução magmática de uma suite de rochas cogenéticas.

Quando um mineral está em equilíbrio químico com um líquido, os elementos são particionados entre as duas fases de acordo com as suas atividades químicas em cada. Se a concentração do elemento é baixa nas duas fases (abaixo de 1%) aplica-se a relação

### concentração no mineral/concentração no líquido = KD

onde K<sub>D</sub> é uma constante conhecida como coeficiente de partição (ou de distribuição) de um elemento para um determinado equilíbrio mineral-líquido. Valores de K<sub>D</sub> para diversos elementos e minerais são encontrados na literatura (ex. Rollinson, 1993).

A equação que relaciona a concentração de um elemento traço no líquido inicial  $(C_0)$  e no líquido remanescente  $(C_1)$ , após a cristalização de uma ou mais fases minerais, é baseada na Lei de fracionamento de Rayleigh

$$C_1 = C_0.F^{(D-1)}$$

Onde F é a taxa de fracionamento (para 10%, F=0,9) e D é o coeficiente de partição do elemento entre o sólido e o líquido.

### Exercício:

 Utilizando a equação de Rayleigh, calcular a variação de Zr, Nb, Sr e Y em um magma basáltico para a cristalização de 20% e 40% de olivina, plagioclásio e hornblenda, sabendo-se as seguintes concentrações iniciais: Zr = 100 ppm, Sr = 200 ppm, Nb = 10 ppm e Y = 30 ppm e os K<sub>D</sub> dados a seguir:

$$F = \frac{1}{12} \times \frac{1}{$$

$K_D$	ol	plag	hornb
Zr	0,01	0,01	0,5
Sr	0,01	1,83	0,46
Nb	0,01	0,01	0,8
Y	0,01	0,03	1,2

- 2) calcular a razão Zr/Nb para 40% de fracionamento de olivina e 40% de plagioclásio.
- 3) sabendo-se que em um instante infinitesimal a concentração de um elemento traço no cristal formado (C<sub>s</sub>) relaciona-se à concentração do mesmo elemento no líquido do qual se cristalizou (C<sub>1</sub>) pela equação C<sub>s</sub> = D.C<sub>l</sub>, calcular as concentrações de Sr, Zr e Nb nos seguintes cumulatos: 40% de olivina e 40% de plagioclásio.
- 4) comparar a razão Zr/Nb no líquido inicial, no líquido remanescente e no cumulato resultante do fracionamento de 40% de olivina e 40% de plagioclásio.
- 5)plotar em folha LOG-LOG os resultados dos ítens 1 e 3, incluindo a composição inicial. Representar por uma seta (vetor) as variações do elemento traço do líquido inicial até o líquido remanescente.
- 5) Responder às seguintes perguntas:
- como variam as concentrações dos elementos muito incompatíveis (Kd<<1) e dos altamente compatíveis (Kd>1) no líquido e no sólido finais?
- como variam as razões entre elementos altamente incompatíveis no sólido inicial, no líquido e no cumulato final?

  3) Fusão parcial utilizando elementos traços

Este é um dos processos que mais expressivamente pode modificar a composição dos magmas. Neste exercício vamos verificar como as concentrações de alguns elementos do grupo dos Terras Raras (REE) variam com o aumento da taxa de fusão.

Um segmento do manto na facies granada lherzolito começa a fundir. Calcule as concentrações dos elementos La, Nd e Yb em líquidos resultantes de 1%, 5% e 20% de fusão em equilíbrio. Utilize a equação abaixo:

$$Cl = Co/(D + F(1-D))$$

onde Cl é a concentração no líquido, Co a concentração inicial na fonte, D é o coeficiente de partição total do elemento no sólido inicial e F é a taxa de fusão (1% = 0.01: 5% = 0.05 e 20% = 0,2). D é calculado como o somatório das proporções dos minerais multiplicado pelo coeficiente de partição mineral/líquido para o elemento em questão.

Posteriormente, o resíduo deixado após a extração do líquido de 20% funde-se novamente, mas desta vez na facies clinopiroxênio lherzolito. Calcule as concentrações em um líquido derivado de 5% de fusão deste material. A concentração no manto residual (Cr) é dada pela relação

O coeficiente de partição total (D) para o exercício deve ser calculado, por exemplo, para a associação 30% olivina + 70% ortopiroxenio.

D = 0.3Kd(oliv) + 0.7Kd(opx)

			Kd			D(F1)	D(F2)
	OI	Орх	Срх	Gt	(Co)		
La	0,002	0,002	_	0,01	0,71	0,012	0,0152
Nd	0,003	0,01	0,20	0,09	1,40	0,0375	0,0346
Yb	0,009	0,11	0,29	4,00	0,51	0,661	0,0814
Fusão	o inicial	O1	Орх	Срх	Gt		
	X	0,50	0,25	0,10	0,15		
Segu	nda Fusã	io					
Ü	X	0,55	0,30	0,15			

Plotar as concentrações de REE dos quatro líquidos, do material original e do resíduo em um diagrama mono-log (com os elementos na abcissa decimal) normalizado aos condritos (La = 0,367; Nd = 0,711; Yb = 0,248) e comentar o observado.

### Resultados do Exercício de Fusão Parcial

Manto inicial	La 0,71 ×	Nd 1,4 //	Yb 0,51 ×	La/Yb 1,39
Valor condrito warmal sala	0,367	0,711	0,248	1,1/4
Manto normalizado	1,93*	1,97*	2,0*	0,96*
1%	<u>32.4</u> .	29,7	0,77	
	<del>88,2</del> *	41,7*	(3,10*.	28,4*
5%	11.5	16,3	0,75	•
	31,3*	22,9*	3,02*	10,3*
20% CL(204)	3.38	6,08	0,7	•
CL (2017)	9,21*	8,5*	2,8*	3,28*
Resíduo	0.04	0,22	0,46	·
	0,11*	0,31*	1,8*	0,06*
5%	0.62	2,65	3,61	
	1,69*	3,73*	14,5*	0,116*

<sup>\*</sup> valores normalizados para plotar no diagrama.

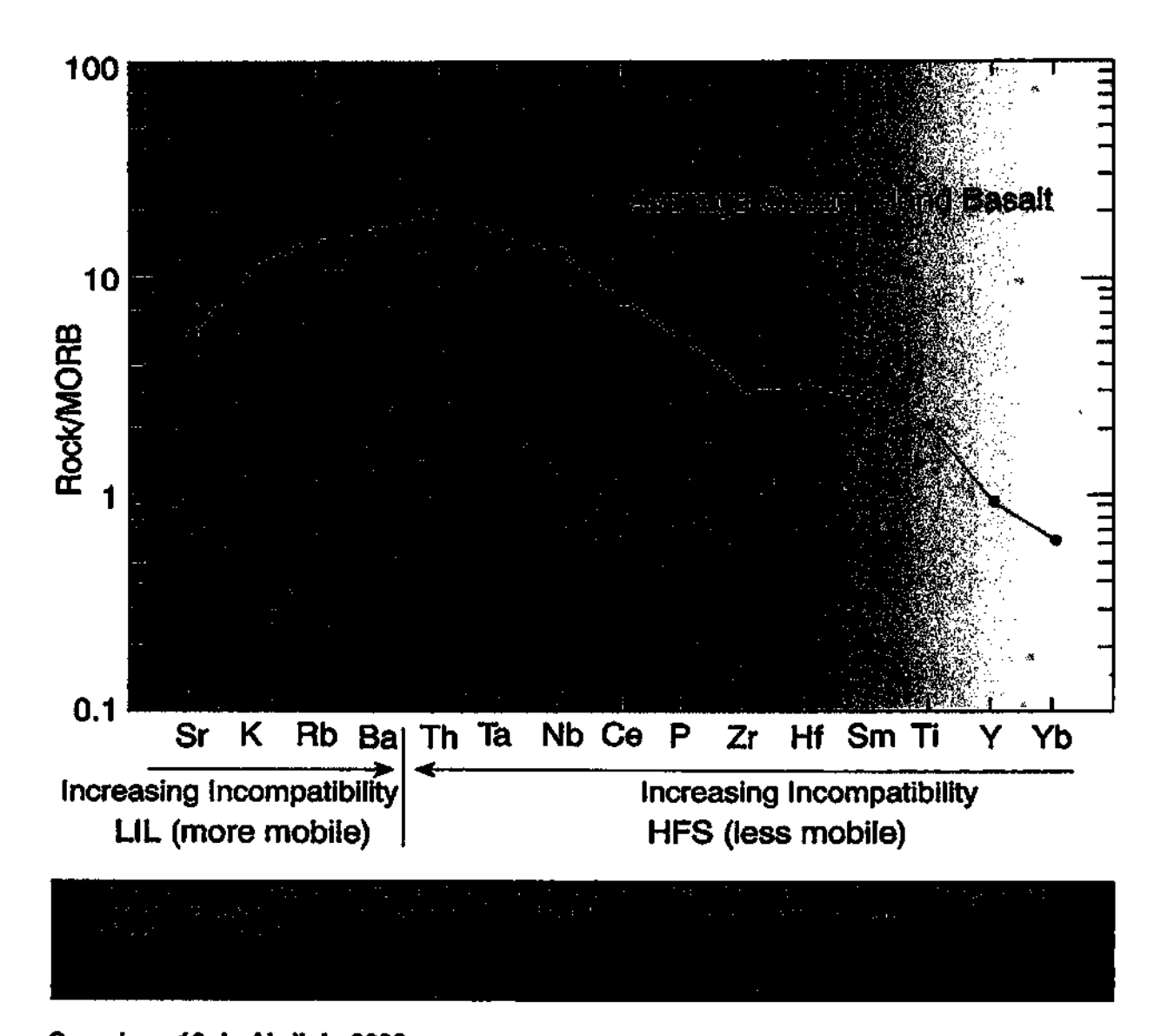
32.4

3,38 = 3,20

### **COMENTARIOS:**

O segmento de manto de composição granada lherzolito submetido 3 estagios de fusão com taxas sucessivas de 1, 5 e 20%, evidencia um padrão de distribuição dos 3 elementos ETR segundo uma curva que se coaduna com dos basaltos de arco de ilha, cf. Figura abaixo, gerada com valor MORB normalizado, enriquecido em elementos incompatíveis.

Destaca-se no caso o comportamento do Yb, que provavelmente devido ao alto coeficiente de partição pela granada, deve ter ficado retido junto a mesma, enriquecendo o residuo resultante do 1º fundido. O 2º fundido mostra-se proveniente de uma fonte mais evoluida, já empobrecido em ETR.



Campinas 16 de Abril de 2003

Caros alunos, Segue, abaixo, 3 questões que serão, adicionalmente aos exercícios realizados em todos os sub-módulos da disciplina, utilizadas como critério na avaliação de vocês. Vocês terão até quarta-feira que vem para retornar as respostas para mim, o que poderá ser feito via e-mail. Espero que o curso tenha sido útil a todos. Saudações Prof. Beto

\*\*\*\*\*\*\*\*\*\*\*\*\*

\*\*\*\*\*\*\* Técnicas Exploratórias – Questões para Avaliação

- (1) Esboce um fluxograma com as principais etapas de uso de sensoriamento remoto & geofisica: (i) OU em um projeto de exploração mineral para metais preciosos (ii) OU em um projeto para monitoramento do meio ambiente Inclua no assunto a ser estudado, os elementos superficiais e, eventualmente, em profundidade, que o representam (minerais, rochas, solos, vegetação, geomorfologia, estruturas, etc.), os dados a serem utilizados (sensoriamento remoto, geofisica, geoquímica e outros de interesse ao estudo), os métodos de coleta de dados em geofisica e técnicas de processamento digital de imagens, a metodologia de análise/interpretação e a geração de produtos finais.
- (2) Descreva algumas técnicas de análise espacial de dados de natureza diversa (mapas litológicos, dados estruturais, geoquímicos, geofísicos e imagens de sensoriamento remoto, ...) no âmbito de um SIG, considerando as aplicações (i) OU na exploração de metais-base e preciosos (ii) OU no monitoramento do meio ambiente.
- (3) Considerando os diversos modelos de dados espaciais utilizados em sistemas de informações geográficas, discuta as vantagens e desvantagens de seu uso com dados geológicos.

COP3 TUNE

mig all nesolars.

Corpor - 7-5.6-5-003.1

### Exercício 02

- 1- Extrair as principais estruturas e unidades geofísicas do mapa, em anexo. Elabore um mapa esquemático com as principais unidades geofísicas identificadas e faça uma legenda, separando-as em unidades á, b, c, etc. Explique o porque da separação dos diferentes domínios indicados.
- 2- Após a separação dos domínios e interpretação da ambiência geológica, proponha um ou vários aerolevantamento (s) de detalhe na área em apreço. Observe parâmetros escolhidos versus anomalias prováveis.

### INTRUSION RELATED GOLD SYSTEMS

- Goldfarb, R. J.; Groves, D. I. e Gardoll, S. 2001. Orogerfic gold and geologic time: a global synthesis. Ore Geology Reviews, 18: 1-75.
- Kerrich, R. & Cassidy, K. F. 1994. Temporal relationships of lode gold mineralization to accretion, magmatism, metamorfhism and deformation Archean to presente: a Review. Ore Geology Reviews. v.9, p.263-310.
- Lang James R. e Backer, T. 2001. Intrusion related gold systems: the present level of understanding. *Mineralium Deposita*, **36**: 477-489.
- Sillitoe R.H., Thompson J.F.H. 1998. Intrusion-related vein gold deposits: types, tectono-magmatic settings and difficulties of distinction from orogenic gold deposits. *Resource Geology*, **48**(7): 237-250.
- Thompsom, J. F. H.; Sillitoe, R. H.; Baker, T.; Lang, J. R.; Mortensen, J. K. 1999. Intrusion-related gold deposits associated with tungsten-tin provinces. Mineralium Deposita, 34: 323-334.

### INCLUSÕES FLUIDAS - OURO EM GRANITOS

Backer, T. e Lang, James R. 2001. Fluid inclusion characteristics of intrusion-related gold mineralization, Tombstone – Tungsten magmatic belt, Yukon Territory, Canadá. *Mineralium Deposita*, **36**: 563-582.

Backer, T. e Lang, James R. 2001. Fluid inclusion characteristics of intrusion-related gold mineralization, Tombstone – Tungsten magmatic belt, Yukon Territory, Canadá. *Mineralium Deposite*, **36**: 563-582.

Backer, T. 2002. Emplacement Depth and Carbon Dioxide – Rich Fluid Inclusions in Intrusion – Related Gold Deposits. *Economic Geology*, 97: 1111-1117.

Mustard, R. 2001. Granite – hosped gold mineralization at timbarra, northern New South Wales, Australia. *Mineralium Deposita*, **36**: 542-562.

Robert François. 1995. Gold quartz veins in metamorfhics terranes and their bearing on the rule of fluids in faulting. Journal of Geophisical Research. Vol. 100 (34): 12.861 – 12879.

### DEPÓSITOS DE OURO - SEGMENTO TAPAJÓS

- Bettencourt, J. S.; Pacca, I.I.G.; Geraldes, M. J. B.; Sparrengerger, I. (Eds.). 2001. Workshop Geology of the SW Amazoniam craton: State of the art, São Paulo, Ext Abstract.
- Delgado I.M., Pereira A.J., Thormann C.H. 1994. Geology and mineral resources of Brazil: a review. *Intern. Geol.Review*, 36:503-544.
- Hartmann L.A., Delgado I.M. 2001. Cratons and orogenic belts of the Brazilian Shield and their ontained gold deposits. *Mineralium Deposita*, **36**: 207-217.
- Juliani, C.; Corrêa Silva, R. H.; Monteiro, L.V.S.; Bettencourt, J. S. e Nunes, C.M.D. Gênese e evolução da alteração hidrotermal no Granito Batalha, Provincia Aurifera do Tapajós (PA). In: Simpósio de Geologia da Amazônia, VI. *Anais...*, SBG/NN, Belém, workshop 1, p. 41-44.
- Juliani, C.; Corrêa Silva, R. H.; Monteiro, L.V.S.; Bettencourt, J. S. e Nunes, C. M.D. The Batalha Au-granite system-Tapajós gold Province, Amazonian cráton, Brazil: hidrotermal alteration PM and regional implications. Precambrian Research 119 (2002) 223 -256.
- Jacobi, P. 1999. The discovery of epithermál Au-Cu-Mo proterozoic deposits in the Tapajós Province, Brazil. Revista Brasileira de Geociências, 29(2): 277-279.
- Lamarão, C. N.; Dall'Agnol, K.; Lafon, J-M.; Lima, E. F. 2002. Geology, geochemistry, and Pb Pb zircon geóchronology of the Paleoproterozoic magmatism of DM Vila Riozinho, Tapajo's Gold Province, Amazonian craton, Brazil. Precambrian Research 119 (2002) 189-223.
- Leonardos, O.H., Santos, M.D., Giuliani, G., and Araujo, L.R., 1991, The Cumaru mesothermal granodiorite-hosted gold mineralization, Amazon craton, Brazil: *in* Ladeira, E.A., ed., Brazil Gold -91, Rotterdam, Balkema, p. 557-561.
- Pinho, M.A.S.B.; Lima, E.F.; Fetter, A; Schumus, W.R.V. e Chemale, F.Jr. 2001. Caracterização Petrográfica e dados Geocronológicos Preliminares das Rochas Vulcânicas da Formação Iriri porção Centro-Sul do Cráton Amazônico, Aripuanã Mato Grosso. Revista Brasileira de Geociências Vol. 31 (1), p.37-42.
- Santos, J.O.S., Groves, D.I., Hartmann, L.A., Moura, M.A. e Mc Naughton, N.J. 2001. Gold  $\supset n$  deposits of the Tapajós and Alta Floresta Domains, Tapajós-Parima orogenic belt, Amazon Craton, Brazil. *Mineralium Deposita*, 36: 278-299. (não tem cópia)

### **GOLD - TEMAS REGIONAIS**

- Chappell, B.W, Bryant, C. J., Wyborn, D., White, J. R. e Willians, I. S. 1998. High- and low-temperature I-type granites. Resource Geology. vol. 48 (4): 225-235,
- Hartmann L.A., Delgado I.M. 2001. Cratons and orogenic belts of the Brazilian Shield and their contained gold deposits. *Mineralium Deposita*, 36: 207-217.
- Hodgson C.J. 1993. Mesothermal lode gold deposits. In Kirkham R. et al. (eds.) *Mineral Deposit Modeling*. Geol.
- Kerrich, R. & Cassidy, K. F. 1994. Temporal relationships of lode gold mineralization to accretion, magmatism, metamorfhism and deformation Archean to presente: a Review. Ore Geology Reviews. v.9, p.263-310.
- Lang, J.R., Thompson, J.F.H., Mortensen, J.K., and Baker, T., 1997, Intrusion-related Au mineralization associated with lithophile elements: An under-recognized metallogenic association: Geological Society of America Program with Abstracts, v. 29, p. 358.
- Phillips, G. N. & Powell, R. 1993. Link between gold Provinces. Economic Geology. v. 88, p. 1084-1098.
- Robert, F., in review, Syenite-associated, disseminated gold deposits in the Abitibi Greenstone Belt, Canada: Mineralium Deposita.
- Sillitoe, R.H., 1991, Intrusion-related gold deposits: *in* Foster, R.P., ed., Gold Metallogeny and Exploration: Blackie, Glasgow, p. 165-209.
- Sillitoe R.H., Thompson J.F.H. 1998. Intrusion-related vein gold deposits: types, tectonomagmatic settings and difficulties of distinction from orogenic gold deposits. *Resource Geology*, **48**(7): 237-250.

### **TEXTOS**

### INTRUSION - RELATED GOLD SYSTEMS

Lang James R. e Backer, T. 2001. Intrusion – related gold systems: the present level of understanding. *Mineralium Deposita*, 36: 477-489.

Thompsom, J. F. H.; Sillitoe, R. H.; Baker, T.; Lang, J. R.; Mortensen, J. K. 1999. Intrusion-related gold deposits associated with tungsten-tin provinces. Mineralium Deposita, 34: 323-334.

Sillitoe R.H., Thompson J.F.H. 1998. Intrusion-related vein gold deposits: types, tectono-magmatic settings and difficulties of distinction from orogenic gold deposits. Resource Geology, 48(7): 237-250. (não tem cópia)

Goldfarb, R. J.; Groves, D. I. e Gardoll, S. 2001. Orogenic gold and geologic time: a global synthesis. Ore Geology Reviews, 18: 1-75.

Hadason 1993. Miso Through Lot aved 575-648

Pasta Corrente: Entrada

Desconectar

Escrever Enderecos Pastas Opcões Procurar Ajuda Calendário

**SquirrelMail** 

Lista de

Mensagens | Apagar

Encaminhar | Encaminhar como anexado | Responder | Responder a todos Anterior | Próxima

Assunto: [Fwd: Enc: acesso a resultados de projeto]

De: "Seus" <seus@rj.cprm.gov.br> Data: Qua, Maio 21, 2003 3:05 pm

Para: ajpbb@ige.unicamp.br

Prioridade: Normal

Ver cabecalho completo | Ver Versão para Impressão | Ver detalhes da mensagem | View as Opcões:

Prezado Antonio João,

Conforme solicitado, esclarecemos que os produtos gerados pela CPRM encontram-se disponíveis na homepage institucional http://www.cprm.gov.br e também relacionados no Catálogo de Produtos on line. Veja por gentileza em: ftp://ftp.cprm.gov.br/pub/pdf/didote/listapub.pdf

Quanto ao produto mencionado em seu email, solicitamos a gentileza de verificar no Catálogo de Produtos on line, conforme citado acima, selecionando os seguintes itens no Sumário :

- \* Informe de Recursos Minerais / Série Ouro Informes Gerais
- \* Mapas Diversos

Lembramos ainda que, seria nteressante visualizar as páginas abaixo:

OPORTUNIDADES MINERAIS

http://www.cprm.gov.br/opor/negmin.html

RECURSOS MINERAIS

http://www.cprm.gov.br/opor/negmin.html

Estamos à disposição para as informações necessárias.

Cordialmente,

Tania Freire

### Anexados:

### Antonio João

De: Para: <jayme@cpd.ufmt.br>
<aipbarros@uol.com.br>

Enviada em:

quinta-feira, 17 de outubro de 2002

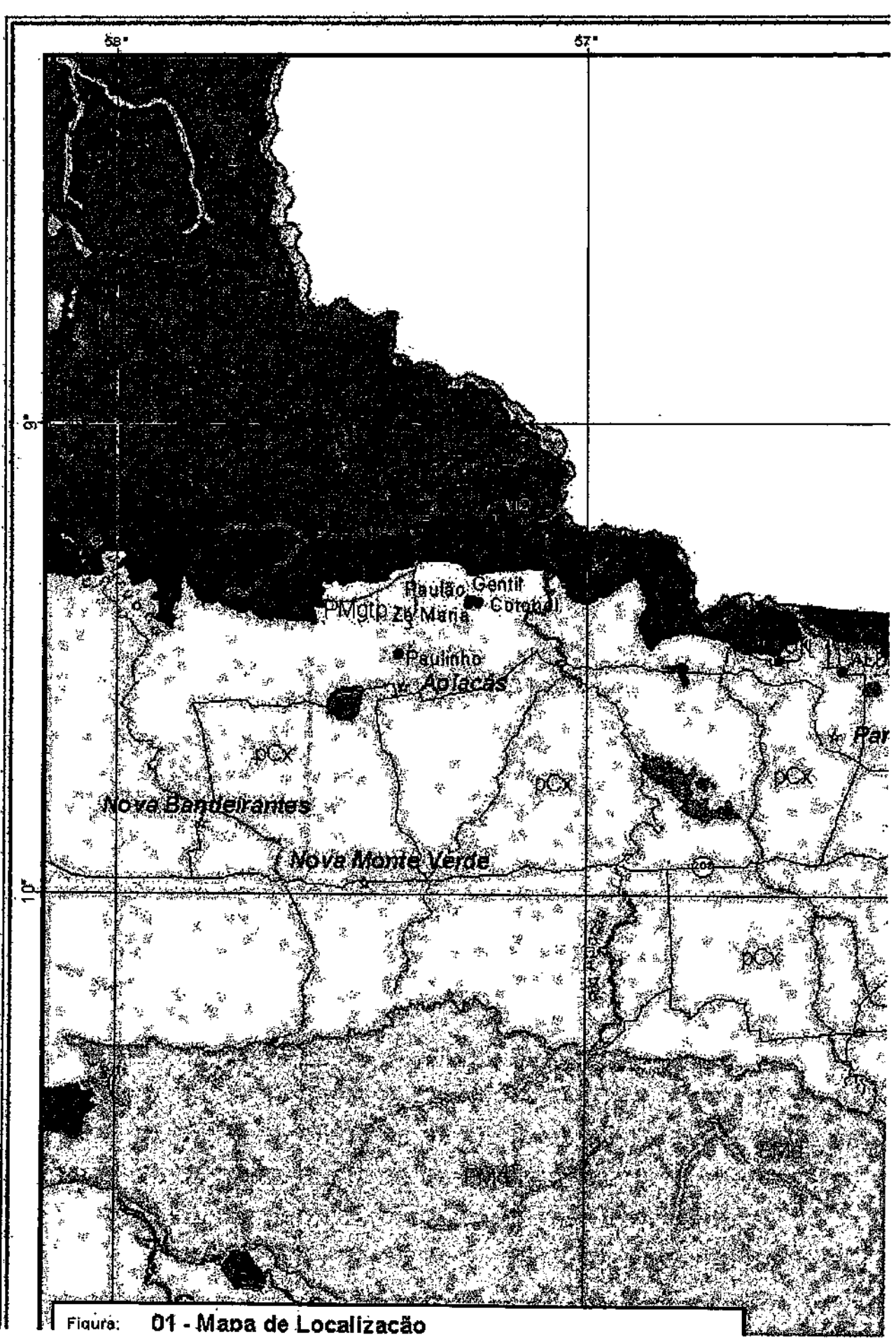
Assunto:

Fwd: Vários!

Mensagem enviada com Webmail CPD/UFMT.

http://www.ufmt.br

```
Forwarded Message:
  > To: "Jayme A. D Leite" < jayme@cpd.ufmt.br>
 > From: Roberto Perez Xavier <xavier@ige.unicamp.br>
  > Subject: Vários!
  > Date: Fri, 11 Oct 2002 14:50:44 -0300
  > Caro Jayme,
  >
  >>
  >> 2. Em relação ao Antonio João, primeiramente obrigado por ser tão
  > enfático na recomendação do meu nome como orientador, porém não vamos
  > exagerar!
  > Pelo contexto do tema que você brevemente explicou (granitos e
  > mineralizações auríferas associadas), sem dúvida que eu tenho interesse
  > em me envolver em um possível projeto de pesquisa que possa levar a uma
  > tese de doutorado. Além disso, se você o está recomendando, eu tenho
  > plena confiança de que se trata de um bom candidato, correto?
> Seria possivel ele entrar em contato comigo, por email, expondo as suas
  > idéias quanto à natureza de um projeto nessa área? Se ele tiver algo já
  > escrito, na forma de um plano resumido de pesquisa (3 páginas), que
  > pudesse servir de início para uma discussão, seria até melhor. Há outros
  > detalhes, porém gostaria de tratar diretamente com ele.
  > Um grande abraço,
  >
  > Roberto
```



http://watt5.uol.com.br/cgi-bin/webmail.exe/mapa\_localizacao.jpg?ID=I1qHQ5shhOS... 23/6/2003

	UV [pm] VIS   cohear [pm]	1 1	Minimum X C S L
Marie and a	62 04 07 28 1 1 3 0 5 0 3	10 12 14 93	d7 1,0 2,0 20 5.0 7.0 10 15 20 30
AHOSAT 1/2 1872/75	1 Kanste Q175 - 0,63 pm (40)		
	CIR C QC-0.9 µm (15 or 30 m)	800 10,2-12,5µm	DOMED MSS
ETEOSAT 1,2 1977 / 61	118181181 (3500 w.) ≥1 - ≤6 hw 118181181 (72 - 173 hw 118181181	III 154-12,5 pm 150(com)	CCD Videcon/Comera
КСИИ 1978	(11111) (1.55 - 1.5 pm (1500m.)	105-12.5um	TAR W. Rodometer
LANDSAT 7 1978	14ans + 0 5 -0,75 µm (60ml ([[[[[[[[[]]]]]]]))	(III) (0.5-12.5 pm   240	
NIMBUS - 7 1976	( #000) - ( #000) - ( #000) - ( #000)	EEE (0.5-12.5 pm (600m)	4 Marrier 10,69-3,79 GMz   20-66 km
SE45AT - 1 1974	M\$-1 (111111) 0,52-0,70 pm (2000-\$000 pm)	R - Popie meler 때 195-12,5 pm (2000-5000 m)	6m HP 3 Kandy 8.6-27.65 OHz (16-100 hm)
5(# A 199)			E- Kand EEI  40m1
SPACELAB 1 1983	Hetro: Comero (~20x	o1	HIR 2 Frequ.
LANDSAT 6+6"	(20 m) fin <sup>6</sup> (mill (iii) (ii) (ii) (ii) 0.5-5.1 μm (iii) (ii) (iii) 1455 4 Κανάν (60m)	(III 10,4-12,5 µm (120m)	*TH 2 KANNO: Q45-Q52:0.52-Q60 pm (20m) Q52-Q69-Q76-Q30 pm 1,55-1,75: 2,08-2,35 pm
HQHS 61 1983 MOME G16 1986	2 Kanata (20m) 0,575-0,625µm u Q,675-0,975µm		
SIR <b>0</b> 1984			L- Kernel <del>III3</del> (40 m)
SPOT 1845	9 Karale Q5- Q9 pm 120m1 (Rarel 120m)		
ERS - 1 1985			Ç-Karal (11111111) (10 ar 100 m)
STEREO-MONS 1984	(10-20m)		
HOMS 02 1986 (*)	4 Kansiy betw. (20m) 0575 x 2 35 um	······································	· · · · · · · · · · · · · · · · · · ·

### ESTADO DE MATO GROSSO

### PROJETO PANTANAL

### **AGENDA AZUL**

Componente	Sub-componente
Projeto	Sub projeto Regularização
ATIVIDADES	Custo Total Estimado U\$ 386.200,00

ATIVIDADE 1 Levantamentos, Mapeamentos e Avatiações (um ano)	
TAREFAS	Custo Total Estimado U\$
1.a) Aquisição e tratamento de imagens e geração de bases	3.500,00
1.b) Sobrevõo e documentário fotográfico	2.800,00
<ol> <li>1.c) Avaliação de impactos, cadastramentos de atividades mineradoras e produtores rurais (Laudos Técnicos)</li> </ol>	23.000,00
1.d) Implantação de banco de dados georeferenciado	2.300,00
1.e) Pesquisa sócio econômica aplicada	6,000,00
1.f) Definição de areas criticas para intervenção/recuperação e parceiros potenciais	2.500,00
1.g) Levantamento planialtimétrico detalhado das áreas de intervenção	12.000,00
1.h) Levantamentos processos DNPM, FEMA e Ministério Publico	1.500,00
Sub total	53.600,00

ATIVIDADE 2 Adequação de normás e padrões para licenciamento	
(um ano)	
TAREFAS	Custo Total Estimado U\$
2.a) Consolidação da legislação aplicada, elaboração de propostas	2.300,00
e resoluções (CONSEMA) e Projetos de Lei	
2.b) Elaboração de Manual de Procedimentos para licenciamento e	3.800,00
Controle ambiental da atividade.	
2.c) Mobilização e fomento a organização dos produtores (cooperativas)	12.000,00
2.d) Divulgação das normas e difusão de procedimentos de controle	8.500,00
2.e) Adequação e introdução de técnicas alternativas de explotação.	12.000,00
Sub total	38.600,00

ATIVIDADE 3 Licenciamento e fiscalização (dois anos)	
TAREFAS	Custo Total Estimado U\$
3.a) Convênios com prefeituras p/ fiscalização	8000,00
3.b) Ações de orientação e fiscalização integrada (FEMA / DNPM / Prefeitura/ METAMAT)	18000,00
3.c) Formalização de Termos de ajustes / MP (Notificação)	3000,00
3.d) Acompanhamento dos termos acordados (Prads)	8000,00
3.e) Monitoramento para avaliação de sistemas de controle (indicadores)	4500,00
3.f) Ações de orientação e fiscalização para renovação de licenças (FEMA)	5000,00
Sub total	46500,00

ATIVIDADE 4 Projetos Pitotos Comunitarios ( Artesanato em pedra) (dois anos)	
TAREFAS	Custo Total Estimado U\$
4.a) Reconhecimento geológico para seleção de áreas	3000,00
4.b) Fortalecimento institucional de cooperativas (parceiras)	9000,00
4.c) Ajuste de parcerias e contrapartidas	2000,00
4.d) Projeto executivo para Implantação de oficina de artesanato	1000,00
4.e) Estudo de mercado e markting.	3000,00
4.f) Implantação de oficina, montagem de equipamentos e infra-estrutura	40000,00
4.g) Três módulos de treinamento p/ formação de artesões e monitores	24000,00
4.h) Aquisição de veiculo utilitário p/ apoio a produção e comercialização	15000,00
4.i) Serviços de manutenção da oficina e apoio	6000,00
Sub total	103000,00

ATIVIDADE 5 Projetos Pilotos Comunitarios ( garimpo comunitário manual)	
(três anos)	
TAREFAS	Custo Total Estimado U\$
5.a) Reconhecimento geológico para seleção de áreas	12000,00
5.b) Fortalecimento institucional de cooperativas (parceiras)	9000,00
5.c) Ajuste de parcerias e contrapartidas	2000,00
5.d) Elaboração de projeto mineiro executivo e projeto de controle ambiental	6000,00
5.e) Licenciamento junto a FEMA e regularização junto ao DNPM	2000,00
5.f) Desenvolvimento mineiro para beneficiamento manual (Manejo d'água)	7500,00
5.g) Desenvolvimento mineiro para abertura das frentes (mecanizada)	23000,00
5.h) Unidade de beneficiamento coletiva p/ sistema manual	35000,00
5.i) Central de comercialização e certificação	3000,00
5.j) Orientação tecnica	30000,00
5.i) Treinamento e formação de mão de obra qualificada	15000,00
Sub total	144500,00

Geognimi Co Cantogratio goognice IEED = 259/360 => [UNESCO] folds mist- (937) = siders files, take cofiley, 1. Tafiles, otrumsfiles 60 VETT: 1983 Digrama anga x 12ais - mobilille des élimnsse m ionicoffange - 12 adius ionic ~ (. for movers (+1+2) ~ (mover (+2+3) ~ ligo Gez (+4+5) K-Rb; Ca-sn; pg-on; Si-82; In-H/; Nb-Ta ETE-La -y 17- Rn - 12h - 10d- 15- 112 PASA OLO ESTONE ( ) Fisherito. Ping-Bas 6, No, N, V; 2m ld, mo, n; , job, : pl, or, ps, pn, ps,,
56, V, 2n.
K, 130, Ps Kjeldspoto: